

## บรรณานุกรม

### ภาษาไทย

กนกกาญจน์ อุนสาร และศรีอัมพร กิตติพลารักษ์. การศึกษาคุณลักษณะของชีโวไอล์ฟลินปีชีตที่สังเคราะห์ได้จากน้ำเส้าชานอ้อย. ปริญญาในพนธ์วิศวกรรมศาสตรบัณฑิต สาขาวิชา  
วิศวกรรมเคมี ภาควิชาเคมี คณะวิศวกรรมศาสตร์ มหาวิทยาลัยเทคโนโลยี  
พระจอมเกล้าฯ พระนครเหนือ, 2552.

กรมควบคุมมลพิษ กระทรวงทรัพยากรธรรมชาติและสิ่งแวดล้อม. มาตรฐานคุณภาพอากาศและ  
เสียง. [ออนไลน์] 2553. [สืบค้นวันที่ 9 เมษายน 2554]. จาก

[http://www.pcd.go.th/info\\_serv/reg\\_std\\_airsnd02.html](http://www.pcd.go.th/info_serv/reg_std_airsnd02.html)

กลุ่มพัฒนาการส่งเสริมสุขภาพและอนามัยสิ่งแวดล้อม ศอ.4. Healty Promotion and  
Environmental Health Development. [ออนไลน์][ม.ป.ป.][สืบค้นวันที่ 9 เมษายน  
2554]. จาก <http://hpe4.anamai.moph.go.th/hia/nox.php>

จรัสวัฒน์ พันธนิตย์. การสังเคราะห์ชีโวไอล์ต SUZ-4 จากถ่านแกลูน. วิทยานิพนธ์วิศวกรรมศาสตร  
มหาบัณฑิต สาขาวิชาเคมี ภาควิชาเคมี คณะวิศวกรรมศาสตร์ มหาวิทยาลัย  
เทคโนโลยีเกษตรศาสตร์, 2550.

จุฑามาศ อินตัชศรี. การสังเคราะห์ชีโวไอล์ตชนิดบีต้าจากถ่านออกซิเจนของชานอ้อย. วิทยานิพนธ์  
วิศวกรรมศาสตรมหาบัณฑิต สาขาวิชาเคมี ภาควิชาเคมี คณะ  
วิทยาศาสตร์ สถาบันเทคโนโลยีพระจอมเกล้าเจ้าคุณทหารลาดกระบัง, 2550.

ตะวัน ศุขน้อย. ชีโวไอล์ตและสารมีรูพ Rubinที่เกี่ยวข้อง. (เอกสารประกอบการสอนรายวิชา  
05103253 ชีวิชาชีโวไอล์ตและสารมีรูพ Rubinที่เกี่ยวข้อง). กรุงเทพฯ : ภาควิชาเคมี คณะ  
วิทยาศาสตร์ สถาบันเทคโนโลยีพระจอมเกล้าเจ้าคุณทหารลาดกระบัง, 2549.

นพภัพร พานิช และคณะ. ตำราระบบบำบัดมลพิษอากาศ. พิมพ์ครั้งที่ 2. กรุงเทพฯ : ศูนย์บริการ  
วิชาการแห่งจุฬาลงกรณ์มหาวิทยาลัย, 2550.

พงษ์ธร แซ่ดุย, ศูนย์เทคโนโลยีโลหะและวัสดุแห่งชาติ. การใช้ชิลิกาเป็นสารเติมแต่งในยาง.

[ออนไลน์][น.ป.ป.] [สืบค้นวันที่ 14 กุมภาพันธ์ 2554]. จาก

<http://rubber.sc.mahidol.ac.th/rubbertech/Silica.pdf>

วงศ์พันธ์ ลินปะเสนีย์, นิตยา มหาพล และธีระ เกรอต. modulus อาகาศ. พิมพ์ครั้งที่ 5. กรุงเทพฯ : จุฬาลงกรณ์มหาวิทยาลัย, 2540.

วันเพ็ญ วิโรจนกุญ และคณะ, ศูนย์วิจัยด้านการจัดการสิ่งแวดล้อมและสารอันตราย. การผลิต  
ผลิตภัณฑ์ชีวเคมีที่ใช้อ้อยเป็นวัตถุดิบต้นน้ำ. ขอนแก่น : ภาควิชาวิศวกรรมสิ่งแวดล้อม  
คณะวิศวกรรมศาสตร์ มหาวิทยาลัยขอนแก่น, 2550.

ศักดินันท์ นันตัง. การจัดกำลังผันอินทรีย์ในเชือเพลิงเหลวในการดูดซับน้ำไฮโดรเจนที่เปลี่ยน  
ไอออนโลหะ. วิทยานิพนธ์วิทยาศาสตร์มหาบัณฑิต สาขาวิชาเคมีเทคนิค ภาควิชา  
เคมีเทคนิค บัณฑิตวิทยาลัย จุฬาลงกรณ์มหาวิทยาลัย, 2549.

### ภาษาอังกฤษ

Affandi, S., et al. "A facile method for production of high-purity silica xerogels from bagasse ash." **Advanced Powder Technology.** 20 (2009) : 468-472.

Ardelean, I., Cora, S. and Rusu, D. "EPR and FT-IR spectroscopic studies of Bi<sub>2</sub>O<sub>3</sub>-B<sub>2</sub>O<sub>3</sub>-CuO glasses." **Physica B.** 403 (2008) : 3682-3685.

Asensi, M. A., Camblor, M. A. and Martinez, A. "Zeolite SUZ-4: reproducible synthesis, physicochemical characterization and catalytic evaluation for the skeletal isomerisation of n-butenes." **Microporous and Mesoporous Materials.** 28 (1999) : 427-436.

Bayati, B., Babaluo, A. A. and Karimi, R. "Hydrothermal synthesis of nanostructure NaA zeolite: The effect of synthesis parameters on zeolite seed size and crystallinity." **Journal of the European Ceramic Society.** 28 (2008) : 2653–2657.

Bhattacharyya, S. and Das, R. K. "Catalytic reduction of NO<sub>x</sub> in gasoline engine exhaust over copper and nickel-exchanged X-zeolite catalysts." **Energy Conversion and Management.** 42 (2001) : 2019-2027.

- Bordiga, S., et al. "Interaction of N<sub>2</sub>, CO and NO with Cu-exchanged ETS-10:a compared FTIR study with other Cu-zeolites and with dispersed Cu<sub>2</sub>O." **Catalysis Today.** 70 (2001) : 91-105.
- Capek, L., Dedecek, P. and Wichterlova, B. "The decisive role of the distribution of Al in the framework of beta zeolites on the structure and activity of Co ion species in propane-SCR-NO<sub>x</sub> in the presence of water vapour." **Journal of Catalysis.** 272 (2010) : 44-54.
- Chareonpanich, M., Jullaphan, O. and Tang, C. "Bench-scale synthesis of zeolite A from subbituminous coal ashes with high crystalline silica content." **Journal of Cleaner Production.** 19 (2011) : 58-63.
- Cohen, C. A., et al. "Respiratory Symptoms, Spirometry, and Oxidant Air Pollution in Non-smoking Adults." **ANN. Rev. Resp. Dis.** 105 (1972) : 251-256.
- Cordeiro, G. C., Toledo, R. D. and Fairbairn, E. M. R. "Effect of calcinations temperature on the pozzolanic activity of sugar cane bagasse ash." **Construction and Building Materials.** 23 (2009) : 3301-3303.
- Costas, N. C., et al. "Industrial H<sub>2</sub>-SCR of NO on a novel Pt/MgO-CeO<sub>2</sub> catalyst." **Applied Catalysis B: Environmemtal.** 75 (2007) : 147-156.
- Datka, J., Kukulska-Zajac, E. and Kobyzewa, W. "The activation of acetylene by Cu<sup>+</sup> ions in zeolites studies by IR spectroscopy." **Catalysis Today.** 101 (2005) : 123-129.
- Feldman, Y. C. "The Combined Action of a Human Body of a Mixture of the Main Components of Motor Traffic Exhaust GaSES (Carbon Monoxide, Nitrogen Dioxide, Formaldehyde and Hexane)." **Gig. I. Sanit.** 10 (1974) : 7-10.
- Garin, F. "Mechanism of NOx decomposition." **Applied Catalysis A: General.** 222 (2001) : 183–219.
- Grayson, R. R. "Silago Gas Poisoning: Nitrogen Dioxide Pneumonia, a New Disease in Agricultural Workers." **Ann. Intern. Med.** 45 (1956) : 393-408.

- Gujar, A. C. and Price, G. L. "Synthesis of SUZ-4 in the K<sup>+</sup>/TEA<sup>+</sup> system." **Microporous and Mesoporous Materials.** 54 (2002) : 201-205.
- Gujar, A. C., et al. "Raman investigation of the SUZ-4 zeolite." **Microporous and Mesoporous Materials.** 78 (2005) : 131-137.
- Hamdan, H., et al. "Si MAS NMR, XRD and FESEM studies of rice husk silica for the synthesis of zeolite." **Non-Crystalline Solids.** 211 (1997) : 126-131.
- Henschler, D., et al. "Olfactory Threshold of Some Important Irritant Gases and Effects in Man at Low Concentrations." **Arch. Gewerbepathol. Gewerbehyg.** 17 (1960) : 547-570.
- Iwasaki, M. and Shinjoh, H. "NO evolution reaction with NO<sub>2</sub> adsorption over Fe/ZSM-5: In situ FT-IR observation and relationships with Fe sites." **Journal of Catalysis.** 273 (2010) : 29-38.
- Jing, Z. "Preparation and magnetic properties of fibrous gamma iron oxide nanoparticles via a nanoqueous medium." **Materials Letters.** 60 (2006) : 2217-2221.
- Kim, T. W., et al. "Surface properties and reactivity of Cu/g-Al<sub>2</sub>O<sub>3</sub> catalysts for NO reduction by C<sub>3</sub>H<sub>6</sub> Influences of calcination temperatures and additives." **Applied Catalysis A: General.** 210 (2001) : 35-44.
- Lawton, S. L., et al. "Synthesis and proposed framework topology of zeolite SUZ-4." **J. Chem. Soc., Chem. Commun.** 11 (1993) : 894-896.
- Lisi, L., et al. "Cu-ZSM5 based monolith reactors for NO decomposition." **Chemical Engineering Journal.** 154 (2009) : 341-347.
- Liu, P., et al. "Pt catalysts supported on b zeolite ion-exchanged with Cr(III) for hydroisomerization of n-heptane." **Applied Catalysis A: General.** 371 (2009) : 142-147.
- Lukyanov, D. B., et al. "On the Structural, Acidic and Catalytic Properties of Zeolite SUZ-4." **J. Phys. Chem. B.** 103 (1999) : 197-202.

- Machida, M., et al. "A dual-bed lean deNOx catalyst system consisting of NO-H<sub>2</sub>-O<sub>2</sub> reaction and subsequent N<sub>2</sub>O decomposition." **Catalysis Communications.** 3 (2002) : 233–238.
- Madejova, J., Arvaiova, B. and Komade, P. "FT-IR spectroscopic characterization of thermally treated Cu<sup>2+</sup>, Cd<sup>2+</sup>, and Li<sup>+</sup> montmorillonites." **Spectrochimica Acta part.** 55 (1999) : 2467-2476.
- Miller, D. D. and Chaung, S. S. C. "In situ infrared study of NO reduction over Pd/Al<sub>2</sub>O<sub>3</sub> and Ag-Pd/Al<sub>2</sub>O<sub>3</sub> catalysts under H<sub>2</sub>-rich and lean-burn conditions." **Journal of the Taiwan Institute of Chemical Engineers.** 40 (2009) : 613–621.
- Mosca, A., et al. "NO<sub>2</sub> and N<sub>2</sub> sorption in MFI films with varying Si/Al and Na/Al ratios." **Microporous and Mesoporous Materials.** 120 (2009) : 195-205.
- Nagase, T., et al. "An effect of the seed species on the PV performance of the secondary synthesized MER zeolite membranes." **Microporous and Mesoporous Materials.** 126 (2009) : 107-114.
- Nakatsuji, T., et al. "A selective NO<sub>x</sub> reduction on Rh-based catalysts in lean conditions using CO as a main reductant." **Applied Catalysis B: Environmental.** 85 (2008) : 61-70.
- Orchek, J., et al. "Effect of Short-term, Low-level Nitrogen Dioxide Exposure on Bronchial Sensitivity of Asthmatic Patients." **Clin Invest.** 57 (1976) : 301-307.
- Palomares, A. E., et al. "On the researching of a new zeolite structure for the selective catalytic reduction of NO The possibilities of Cu-exchanged IM5." **Journal of Molecular Catalysis A: Chemical.** 162 (2000) : 175-189.
- Park, S. M., et al. "H<sub>2</sub>-SCR of NO on Pt-MnO<sub>x</sub> Catalysts: Reaction path via NH<sub>3</sub> formation." **Applied Catalysis A: General.** 395 (2011) : 120-128.
- Pieterse, J. A. Z. and Booneveld, S. "Catalytic reduction of NO<sub>x</sub> with H<sub>2</sub>/CO/CH<sub>4</sub> over PdMOR catalysts." **Applied Catalysis B: Environmental.** 73 (2007) : 327–335.

- Price, G. L. **TU Chemical Engineering Zeolite page.** [serial online][n.d.][cited 2011 Apr 9]. Available from : URL : <http://www.personal.utulsa.edu/~geoffrey-price/zeolite/>
- Rivallan, M., et al. "Adsorption and reactivity of nitrogen oxides ( $\text{NO}_2$ ,  $\text{NO}$ ,  $\text{N}_2\text{O}$ ) on Fe-zeolite." **Journal of Catalysis.** 264 (2009) : 104-116.
- Salamberid, O. P. "Reflex Action of a Mixture of Sulfur Dioxide and Nitrogen Dioxide." **Gig. L. Sanit.** 7 (1967) : 9-13.
- Sazama, P., et al. "Enhancement of decane-SCR- $\text{NO}_x$  over Ag/alumina by hydrogen. Reaction kinetics and in situ FTIR and UV-vis study." **Journal of Catalysis.** 232 (2005) : 302-317.
- Schott, F. J. P., et al. "Reduction of  $\text{NO}_x$  by  $\text{H}_2$  on  $\text{Pt}/\text{WO}_3/\text{ZrO}_3$  catalysts in oxygen-rich exhaust." **Applied Catalysis B: Environmental.** 87 (2009) : 18-29.
- Shichi, A., Satsuma, A. and Hattori, T. "Influence of geometry-limited diffusion on the selective catalytic reduction of NO by hydrocarbons over Cu-exchanged zeolite." **Applied Catalysis B: Environmental.** 30 (2001) : 25-33.
- Skofteland, B. M., Ellestad, O. H. and Lillerud, K. P. "Potassium merlinoite: crystallization, structural and thermal properties." **Microporous and Mesoporous Materials.** 43 (2001) : 61-71.
- Stathopoulos, V. N., et al. "Comparative study of La-Sr-Fe-O perovskite-type oxides prepared by ceramic and surfactant methods over the  $\text{CH}_4$  and  $\text{H}_2$  lean-de $\text{NO}_x$ ." **Applied Catalysis B: Environmental.** 93 (2009) : 1-11.
- Strohmaier, K. G., Afeworki, M. and Dorset, D. L. "The crystal structures of polymorphic SUZ-4." **Z. Kristallogr.** 221 (2006) : 689-698.
- Subbiah, A., et al. " $\text{NO}_x$  reduction over metal-ion exchanged novel zeolite under lean conditions: activity and hydrothermal stability." **Applied Catalysis B: Environmental.** 42 (2003) : 155-178.

Suzuki, T. and Ishikawa, K. "A Study on the Effect of Smog on Man." **Science and Technology Agency.** 2 (1965) : 99-121.

Torre-Abreu, C., et al. "Selective catalytic reduction of NO on copper-exchanged zeolites: the role of the structure of the zeolite in the nature of copper-active sites." **Catalysis Today.** 54 (1999) : 407–418.

Umeda, J. and Kondoh, K. "High-purification of amorphous silica originated from rice husks by combination of polysaccharide hydrolysis and metallic impurities removal." **Industrial Crops and Products.** 32 (2010) : 539-544.

US. Environmental Protection Agency. **Scientific and Technical Data Base for Criteria and Hazardous Pollutants.** (1975) : 192-194.

Valverde, J. L., et al. "Study by in situ FTIR of the SCR of NO by propene on Cu<sup>2+</sup> ionexchanged Ti-PILC." **Jornal of Molecular Catalysis A: Chemical.** 230 (2005) : 23-28.

Wen, B. "NO reduction with H<sub>2</sub> in the presence of excess O<sub>2</sub> over Pd/MFI catalyst." **Fuel.** 81 (2002) : 1841-1846.

Worathanakul, P. **Novel synthesis of nanostructured materials: SiO<sub>2</sub>-TiO<sub>2</sub>, SiO<sub>2</sub>-Al<sub>2</sub>O<sub>3</sub> and SUZ-4 zeolite for environmental applications.** Ph.D.Dissertation, Faculty of Chemical Engineering, Kasetsart University, 2008.

Wu P., et al. "Study on Pt/Al-MCM-41 for NO selective reduction by hydrogen." **Catalysis Today.** (2010).

Yu, Q., et al. "The promotional effect of Cr on catalytic activity of Pt/ZSM-35 for H<sub>2</sub>-SCR in excess oxygen." **Catalysis Communications.** 11 (2010) : 955–959.

Zhang, R., et al. "Catalytic reduction of NO by CO over Cu/Ce<sub>x</sub>Zr<sub>1-x</sub>O<sub>2</sub> prepared by frame synthesis." **Journal of Catalysis.** 272 (2010) : 210-219.

Zhuravlev, L. T. "The surface chemistry of amorphous silica. Zhuravlev model." **Colloids and Surfaces A: Physicochemical and Engineering Aspects.** 173 (2000) : 1-38.

ภาคผนวก ก

องค์ประกอบทางเคมีของปืนถ่านอี้อย

ตารางที่ ก-1 องค์ประกอบทางเคมีของปู๊ดถ่านอ้อย

สารประกอบ	เปอร์เซ็นต์ประกอบโดยน้ำหนัก		
	ปู๊ดถ่านอ้อย จากโรงงาน	ชิลิกาที่เตรียม วิธีที่ 1	ชิลิกาที่เตรียม วิธีที่ 2
$\text{SiO}_2$	76.19	92.64	96.09
$\text{K}_2\text{O}$	4.65	2.07	0.77
$\text{Fe}_2\text{O}_3$	7.31	2.34	0.13
$\text{CaO}$	6.78	1.24	0
$\text{Al}_2\text{O}_3$	1.76	0.81	2.98
$\text{TiO}_2$	0.8	0.61	0
$\text{Mn}_2\text{O}_3$	0.64	0.15	0
$\text{ZrO}_2$	0.06	0.04	0
$\text{SO}_3$	0.1	0.08	0
$\text{ZnO}$	0.04	0	0
$\text{P}_2\text{O}_5$	1.65	0	0
$\text{ZnO}_2$	0	0	0.03

## ภาคผนวก ฯ

การคำนวณปริมาณสารตั้งต้นที่ใช้ในการสังเคราะห์ซีโอลิตชันิด SUZ-4 จากชีเสเตชันอ้อย

**ตารางที่ ข-1 สูตร โนเมเลกุล ความบริสุทธิ์ และน้ำหนักโนเมเลกุลของสารตั้งต้นที่ใช้ในการสังเคราะห์ชีโอลิตชินิด SUZ-4**

สารตั้งต้น	สูตรโครงสร้าง	เปอร์เซ็นต์โดยน้ำหนัก	น้ำหนักโนเมเลกุล
สารกำหนดโครงสร้าง (TEAOH)	$(C_2H_5)_4NOH$	35	147.26
โพแทสเซียมไฮดรอกไซด์	KOH	85	56.11
อะลูมิเนียม	Al	93	26.98
ซิลิกาโซล	$SiO_2$	40	60.08

ตัวอย่างการคำนวณการสังเคราะห์ SUZ-4 ที่ BA:silices sol เท่ากับ 25:75 โดยใช้ปั๊มเข้าด้านอ้อยที่เตรียมด้วยวิธีที่ 2

สัดส่วนโนโนที่ใช้ในการสังเคราะห์คือ  $21.22SiO_2 : Al_2O_3 : 7.9KOH : 2.6TEAOH : 498.6H_2O$

1. การคำนวณอัตราส่วนของซิลิกาจากปั๊มเข้าด้านอ้อย : ซิลิกาโซล (BA:silica sol) ที่ใช้ในการเตรียมสารประกอบเจล

เงื่อนไข ซิลิกาหั้งหมด 12 กรัม

$$\text{ซิลิกาจากปั๊มเข้าด้านอ้อย } 0.25 \times 12 = 3 \text{ กรัม}$$

$$\text{ซิลิกาโซล } 0.75 \times 12 = 9 \text{ กรัม}$$

ซิลิกาที่สักจากปั๊มเข้าด้านอ้อยวิธีที่ 2 มีซิลิกาบริสุทธิ์ 96.09 เปอร์เซ็นต์โดยน้ำหนัก เพราะฉะนั้นต้องใช้ปั๊มเข้าที่สักด้วยหั้งหมด  $3/0.9609 = 3.12$  กรัม (ในปั๊มเข้าที่สักด้วยมีอะลูมินา 2.98 เปอร์เซ็นต์โดยน้ำหนัก ถ้าในปั๊มเข้า 3.12 กรัม มีอะลูมินา ( $Al_2O_3$ )  $= (3.12 \times 0.0298)/101.96 = 9.1189 \times 10^{-4}$  กรัมโนโล )

ซิลิกาจากสารเคมี (Ludox AS-40) มีความบริสุทธิ์ 40 เปอร์เซ็นต์ เพราะฉะนั้นต้องใช้ Ludox AS-40  $9/0.4 = 22.5$  กรัม (ใน Ludox AS-40 22.5 กรัม มีน้ำออย  $22.5 \times 0.6 = 13.5$  กรัม)

2. การคำนวณปริมาณสารกำหนดโครงสร้าง (TEAOH) ที่ใช้ในการเตรียมสารประกอบเจล

เงื่อนไข ซิลิกาทั้งหมด 12 กรัม

กำหนดให้สารกำหนดโครงสร้าง (TEAOH) ที่ต้องใช้เท่ากับ X กรัม โน้มถ่วง

ซิลิกา 12 กรัม คิดเป็น  $12/60.08 = 0.2$  กรัม โน้มถ่วงสัดส่วน โน้มถ่วงของซิลิกาต่อสารกำหนดโครงสร้างเท่ากับ  $21.22/2.6$  สามารถคำนวณปริมาณสารกำหนดโครงสร้างที่ใช้ได้ดังนี้

ซิลิกา	21.22	กรัม โน้มถ่วง ใช้สารกำหนดโครงสร้าง	2.6	กรัม โน้มถ่วง
ถ้าต้องการใช้ซิลิกา	0.2	กรัม โน้มถ่วง ใช้สารกำหนดโครงสร้าง	X	กรัม โน้มถ่วง

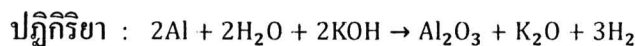
$$\text{คำนวณ } X = 0.2/21.22 \times 2.6 = 0.0245 \text{ กรัม โน้มถ่วง}$$

เนื่องจากสารกำหนดโครงสร้าง (TEAOH) บริสุทธิ์ 35 เปอร์เซ็นต์ และมีน้ำหนักโมเลกุล 147.26 กรัม

ดังนั้นต้องใช้สารกำหนดโครงสร้าง (TEAOH) บริสุทธิ์ 35 เปอร์เซ็นต์เท่ากับ  $(0.0245 \times 147.26)/0.35 = 10.31$  กรัม

(สารกำหนดโครงสร้าง (TEAOH) บริสุทธิ์ 35 เปอร์เซ็นต์ มีน้ำ 65 เปอร์เซ็นต์ ถ้าสารกำหนดโครงสร้าง (TEAOH) 10.31 กรัม จะมีน้ำ  $10.31 \times 0.65$  เท่ากับ 6.7 กรัม)

3. ตัวอย่างการคำนวณปริมาณอะลูมิնัมที่ใช้เตรียมสารประกอบอะลูมินา



เงื่อนไข ซิลิกาทั้งหมด 12 กรัม (0.2 กรัม โน้มถ่วง)

กำหนดให้อะลูมินา ( $\text{Al}_2\text{O}_3$ ) ที่ต้องใช้เท่ากับ X กรัม โน้มถ่วง

จากสัดส่วน โน้มถ่วงของซิลิกาต่ออะลูมินาเท่ากับ  $21.22/1$  สามารถคำนวณปริมาณอะลูมินา ( $\text{Al}_2\text{O}_3$ ) ที่ใช้ได้ดังนี้

ซิลิกา	21.22	กรัม โน้มถ่วง ใช้อะลูมินา	1	กรัม โน้มถ่วง
ถ้าต้องการใช้ซิลิกา	0.2	กรัม โน้มถ่วง ใช้อะลูมินา	X	กรัม โน้มถ่วง

$$\text{คำนวณ } X = (1/21.22) \times 0.2 = 9.4251 \times 10^{-3} \text{ กรัมโมล}$$

มี  $\text{Al}_2\text{O}_3$  จากปี๊กแล้ว  $9.1189 \times 10^{-4}$  กรัมโมล เพราะจะนั้นต้องการ  $\text{Al}_2\text{O}_3$  อีก  $(9.4251 \times 10^{-3}) - (9.1189 \times 10^{-4}) = 8.5131 \times 10^{-3}$  กรัมโมล

จากสมการในการเตรียมสารละลายโพแทสเซี่ยมอะลูมิเนตต้องใช้ผงอะลูมินัม (Al) 2 กรัมโมลในการทำปฏิกิริยาเพื่อให้ได้อะลูมินา ( $\text{Al}_2\text{O}_3$ ) 1 กรัมโมล จึงต้องใช้ผงอะลูมินัม (Al) เท่ากับ  $8.5131 \times 10^{-3} \times 2 = 0.017$  กรัมโมล

เนื่องจากผงอะลูมินัม (Al) บริสุทธิ์ 93 เปอร์เซ็นต์และมีน้ำหนักโมเลกุล 26.98 กรัม ดังนั้นต้องใช้ผงอะลูมินัม (Al) เท่ากับ  $(0.017 \times 26.98)/0.93 = 0.4939$  กรัม

#### 4. ตัวอย่างการคำนวณปริมาณโพแทสเซี่ยมไอกрокไซด์ที่ใช้ในการสังเคราะห์

เงื่อนไข ชิลิกาทั้งหมด 12 กรัม (0.2 กรัมโมล)

กำหนดให้โพแทสเซี่ยมไอกрокไซด์ (KOH) ที่ต้องใช้เท่ากับ X กรัมโมล

ชิลิกา	21.22	กรัมโมล ใช้โพแทสเซี่ยมไอกрокไซด์	7.9	กรัมโมล
ถ้าต้องการใช้ชิลิกา	0.2	กรัมโมล ใช้โพแทสเซี่ยมไอกрокไซด์	X	กรัมโมล

$$\text{คำนวณ } X = (7.9/21.22) \times 0.2 = 0.0745 \text{ กรัมโมล}$$

เนื่องจากโพแทสเซี่ยมไอกрокไซด์ (KOH) บริสุทธิ์ 85 เปอร์เซ็นต์ และมีน้ำหนักโมเลกุล 56.11 กรัม ดังนั้นต้องโพแทสเซี่ยมไอกрокไซด์ (KOH) เท่ากับ  $(0.0745 \times 56.11)/0.85 = 4.9179$  กรัม

5. การคำนวณปริมาณน้ำที่ใช้ในการสังเคราะห์

เงื่อนไข ชิลิกาทั้งหมด 12 กรัม (0.2 กรัม โนมล)

กำหนดให้น้ำ ( $H_2O$ ) ที่ต้องใช้เท่ากับ X กรัม โนมล

ชิลิกา	21.22	กรัม โนมล ใช้น้ำ	498.6	กรัม โนมล
ถ้าต้องการใช้ชิลิกา	0.2	กรัม โนมล ใช้น้ำ	X	กรัม โนมล

$$\text{คำนวณ} \quad X = (498.6/21.22) \times 0.2 = 4.6993 \text{ กรัม โนมล}$$

น้ำทั้งหมดที่ต้องใช้ในการเกิดปฏิกิริยาเท่ากับ  $4.6993 \times 18.01 = 84.6351$  กรัมเนื่องจากมีน้ำจากสารกำหนดโครงสร้าง 6.7 กรัม และน้ำจากชิลิกาโซล 13.5 กรัม ดังนั้นน้ำที่ต้องใช้ในการสังเคราะห์ซีไอไลต์ SUZ-4 เท่ากับ  $84.6351 - 6.7 - 13.5 = 64.4351$  กรัม

ภาคผนวก ค

การคำนวณการแลกเปลี่ยน ไออ้อน

### ตัวอย่างการคำนวณปริมาณสารที่ใช้ในการแลกเปลี่ยนไอออน 2.3 wt.% Cu/SUZ-4

K/SUZ-4 : สารละลายน้ำ  $\text{Cu}(\text{NO}_3)_2$  เป็น 1 กรัม : 100 มิลลิลิตร

น้ำหนักโมเลกุลของ $\text{Cu}(\text{NO}_3)_2 \cdot 3\text{H}_2\text{O}$	เท่ากับ	241.60 กรัม
น้ำหนักอะตอมของคอปเปอร์ (Cu)	เท่ากับ	63.546 กรัม

เงื่อนไข ต้องการใช้ชีโอลิต SUZ-4 0.5 กรัม

K/SUZ-4 : สารละลายน้ำ  $\text{Cu}(\text{NO}_3)_2$  เป็น 0.5 กรัม : 50 มิลลิลิตร

จากอัตราส่วน 2.3 wt.% Cu/SUZ-4 ถ้าต้องการใช้ SUZ-4 0.5 กรัม ปริมาณคอปเปอร์ (Cu) ที่ต้องการเท่ากับ  $((2.3/100) \times 0.5) / 63.546 = 1.8097 \times 10^{-4}$  กรัมโมล

$\text{Cu}(\text{NO}_3)_2 \cdot 3\text{H}_2\text{O}$   $1.8097 \times 10^{-4}$  กรัมโมล มีน้ำหนักเท่ากับ  $1.8097 \times 10^{-4} \times 241.60 = 0.0437$  กรัม ดังนั้นในการเตรียมสารละลายน้ำ ให้ได้สารละลายน้ำ 0.0437 กรัม คอปเปอร์ในเตรตต์ ( $\text{Cu}(\text{NO}_3)_2$ ) และ 0.0437 กรัม ละลายน้ำ ให้ได้สารละลายน้ำ 50 มิลลิลิตร

ตัวอย่างการคำนวณ % Cu exchange level ของตัวเร่งปฏิกิริยาที่เตรียมจาก 2.3 และ 5.5 wt.% Cu/SUZ-4

% Cu exchange level =  $2 \times \frac{\text{จำนวนของคอปเปอร์}}{\text{จำนวนของอัลูมิเนียม}} \times 100$

หรือ  $(\text{Cu}/\text{Al}) \times 200$

- ตัวเร่งปฏิกิริยาที่เตรียมจาก 2.3 wt.% Cu/SUZ-4 มี  $\text{Cu}/\text{Al}$  เท่ากับ 0.38 ดังนั้น

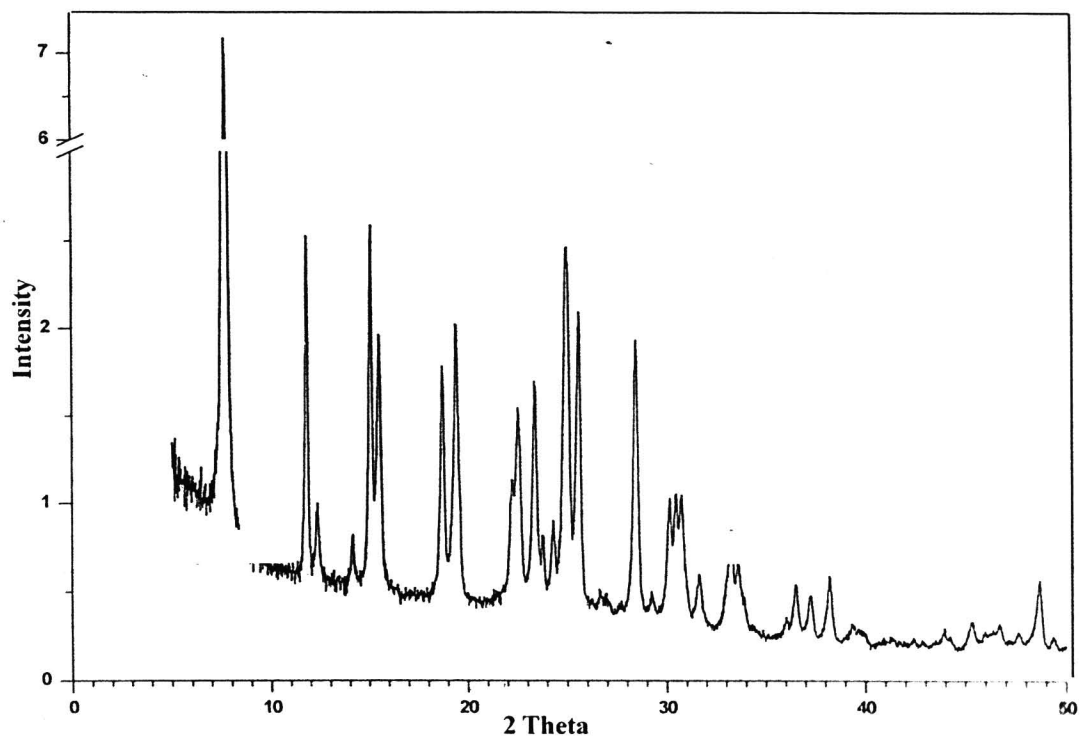
% Cu exchange level =  $0.38 \times 200 = 75.26$

- ตัวเร่งปฏิกิริยาที่เตรียมจาก 5.5 wt.% Cu/SUZ-4 มี  $\text{Cu}/\text{Al}$  เท่ากับ 0.53 ดังนั้น

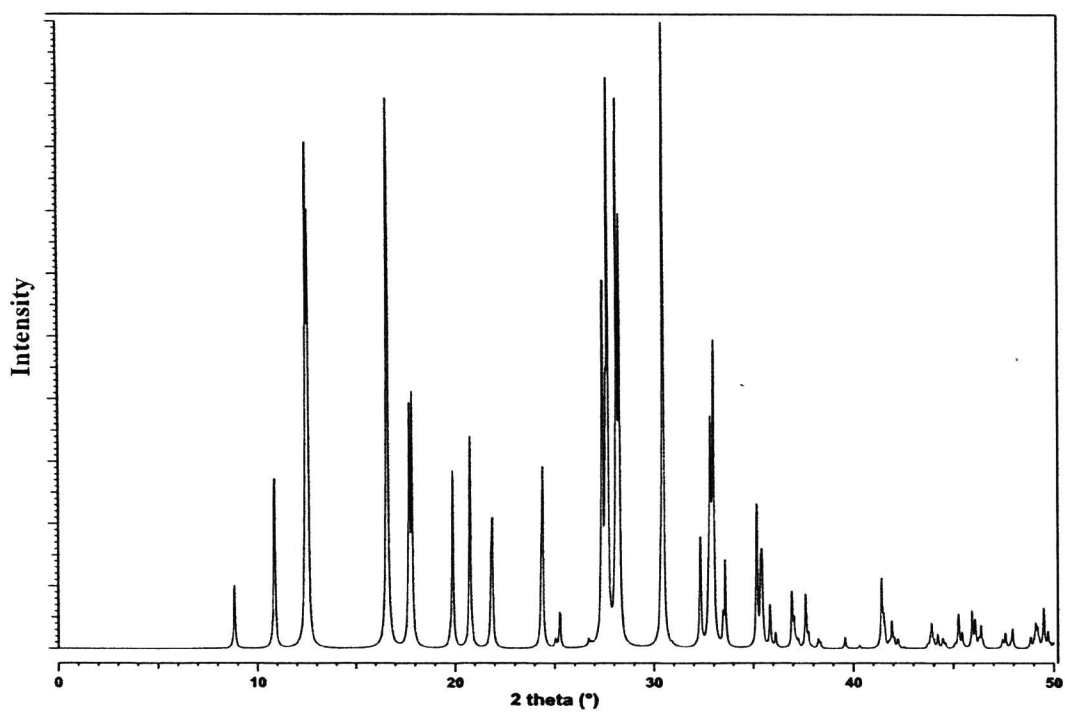
% Cu exchange level =  $0.53 \times 200 = 105.37$

## ภาคผนวก จ

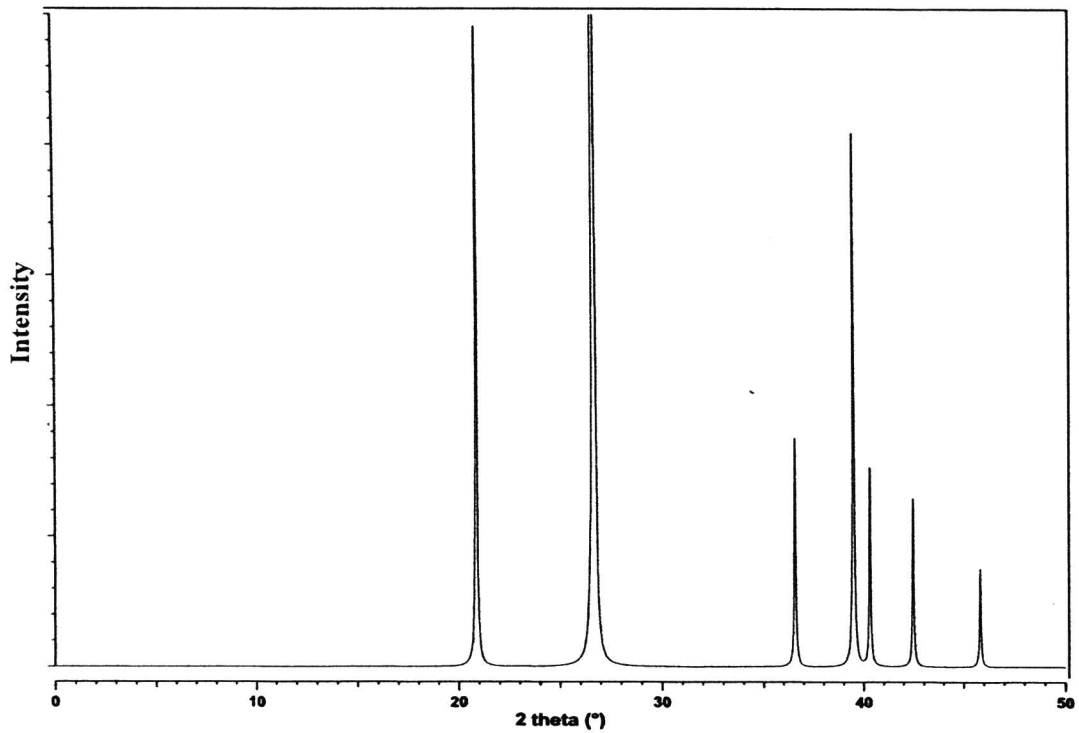
XRD pattern มาตรฐานของซีโอลีต์



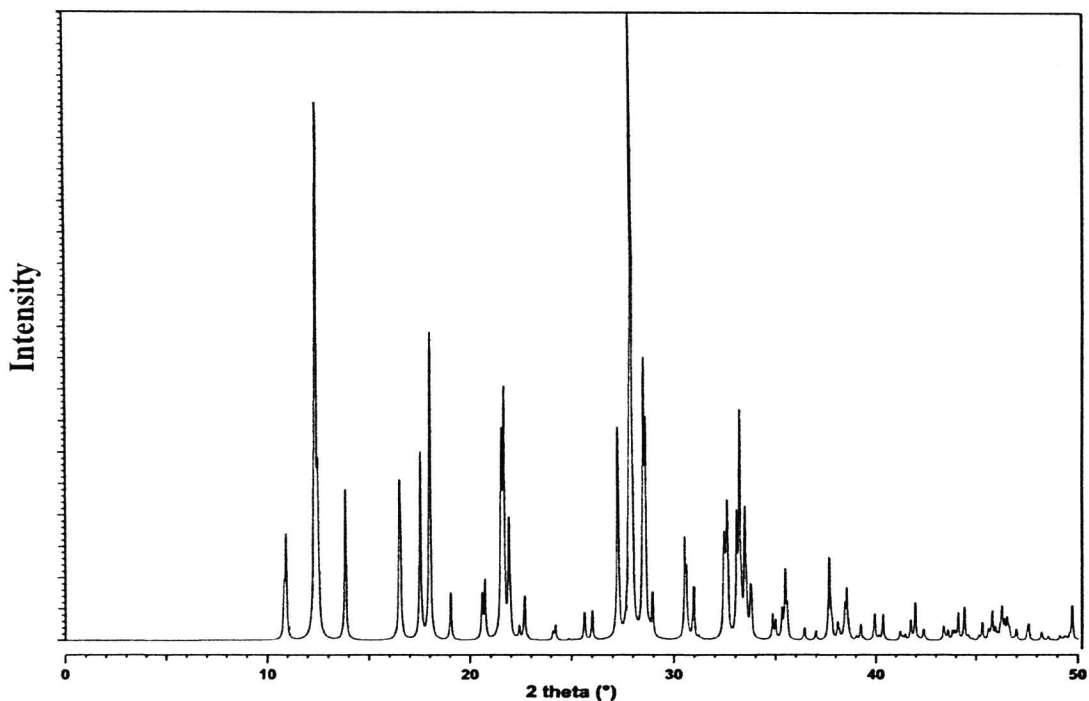
ภาพที่ ๔-๑ XRD pattern มาตรฐานของซีโซ่ໄලட์ SUZ-4



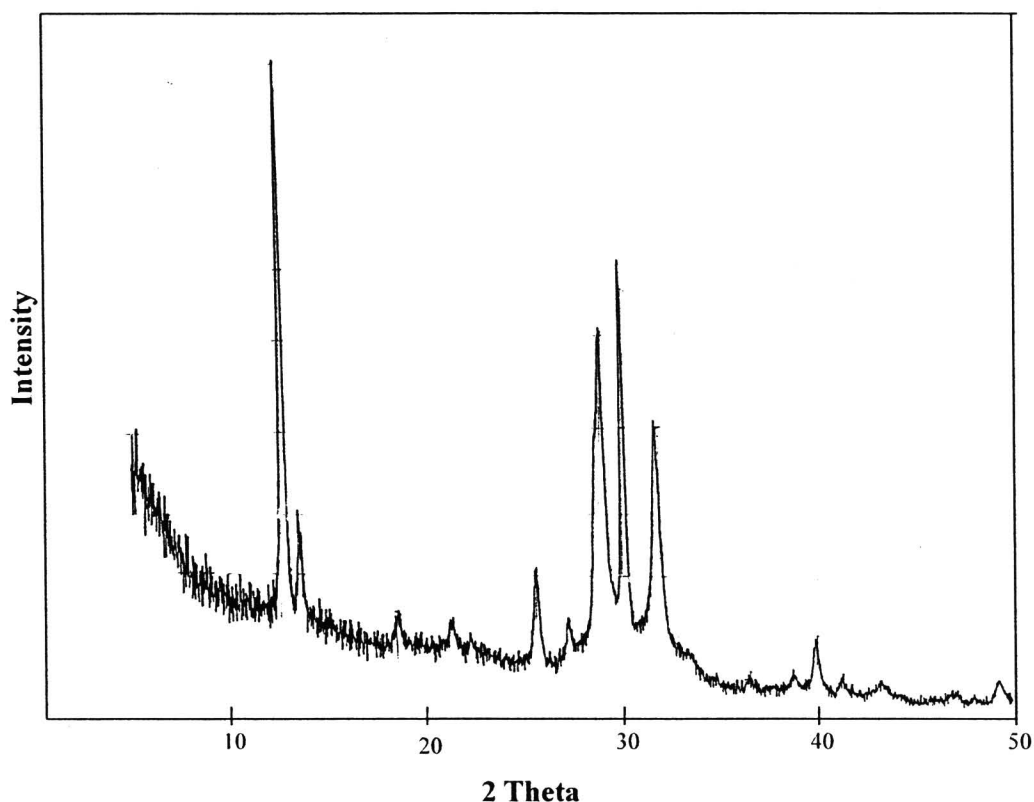
ภาพที่ ๔-๒ XRD pattern มาตรฐานของซีโซ่ໄලட์ Merlinite



ภาพที่ ๔-๓ XRD pattern มาตรฐานของ Alpha Quartz



ภาพที่ ๔-๔ XRD pattern มาตรฐานของซีโอลายต์ Philipsite

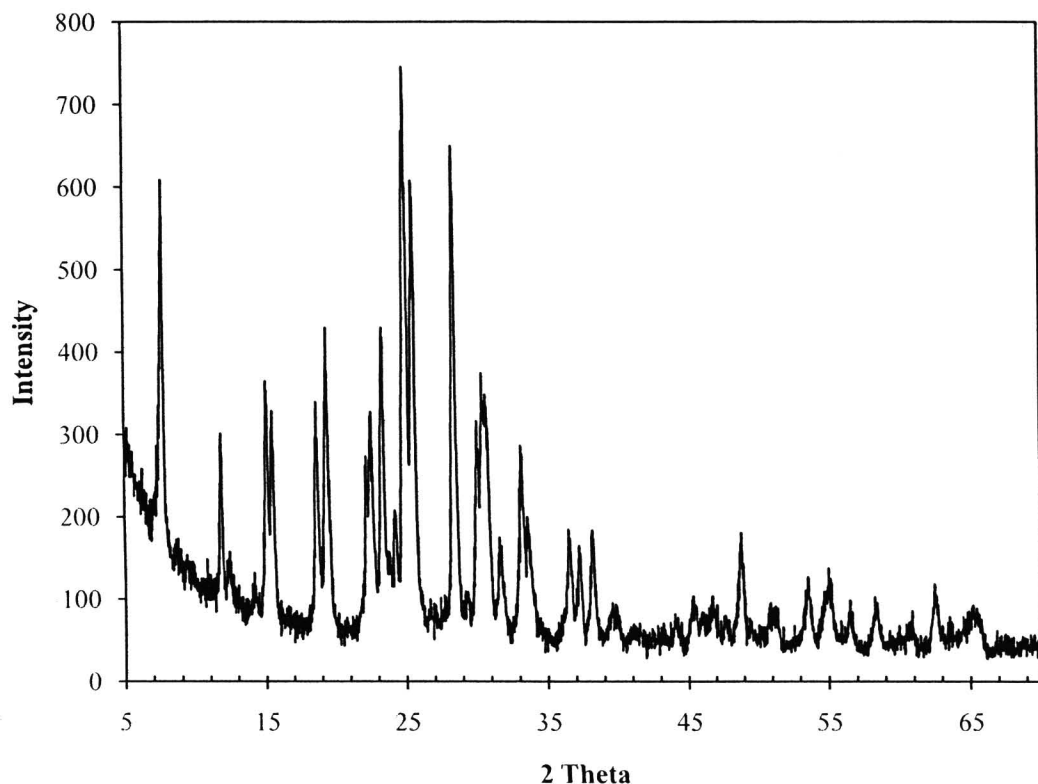


ภาพที่ ๔-๕ XRD pattern มาตรฐานของซีโอลิต Linde Type F

ภาคผนวก จ

ผลการวิเคราะห์โครงสร้างพลีกคั่วยเครื่อง XRD

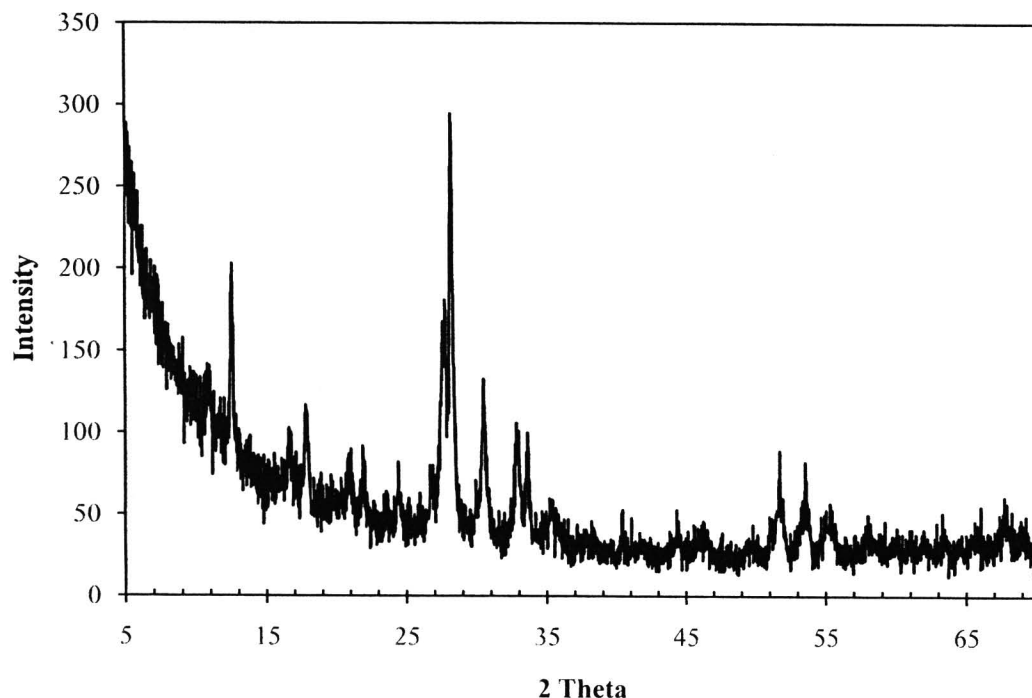
ผลการสังเคราะห์ซีโอไฮด์ SUZ-4 โดยการใช้สารเคมี



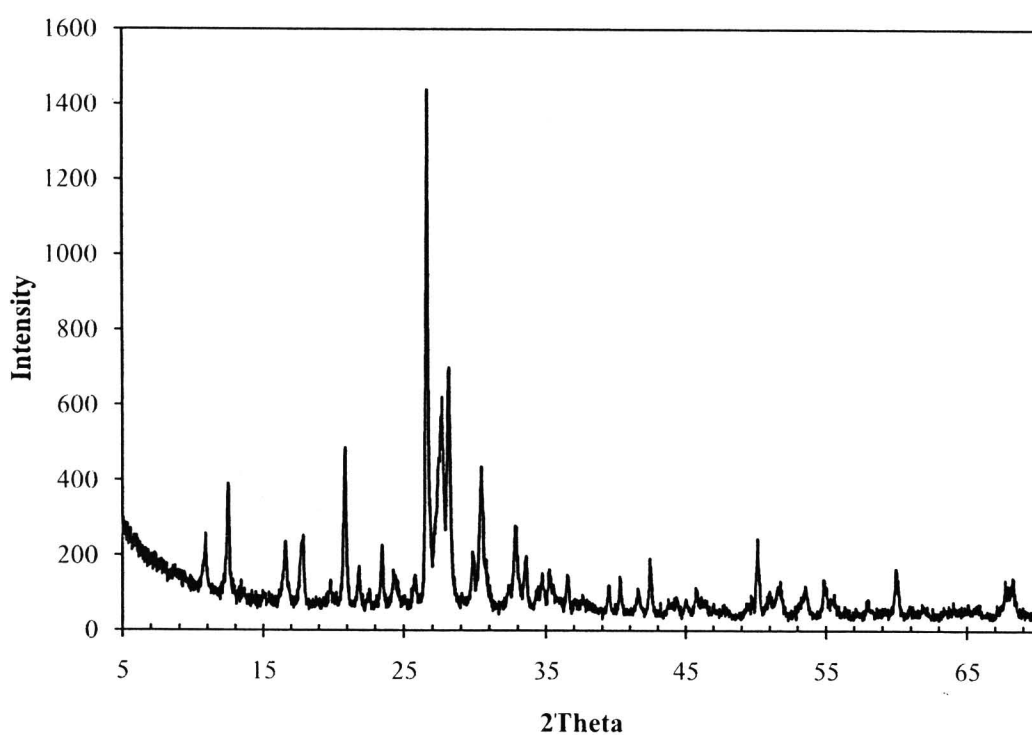
ภาพที่ จ-1 XRD pattern ของผลิตภัณฑ์ที่สังเคราะห์จากการใช้สารเคมี 100 เปอร์เซ็นต์

(BA:silica sol เท่ากับ 0:100)

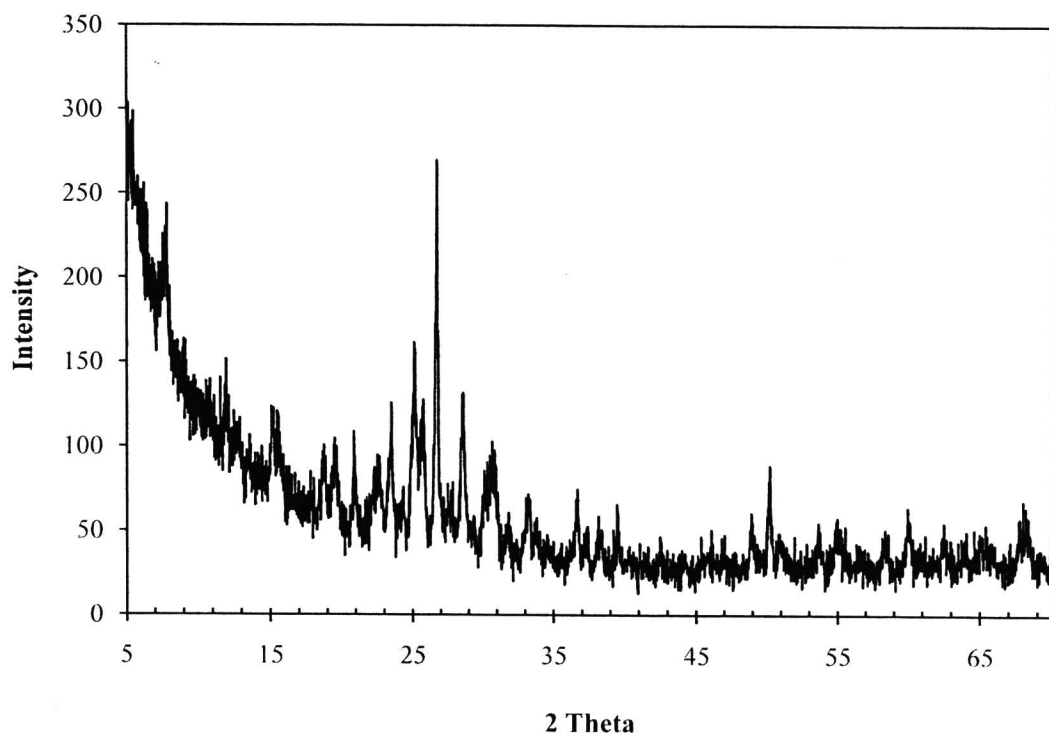
ผลการสังเคราะห์ซีโอลิตโดยใช้เข็มเจ้าชานอ้อยที่เตรียมจากกวิธีที่ 1 มาเป็นแหล่งชิลิกา



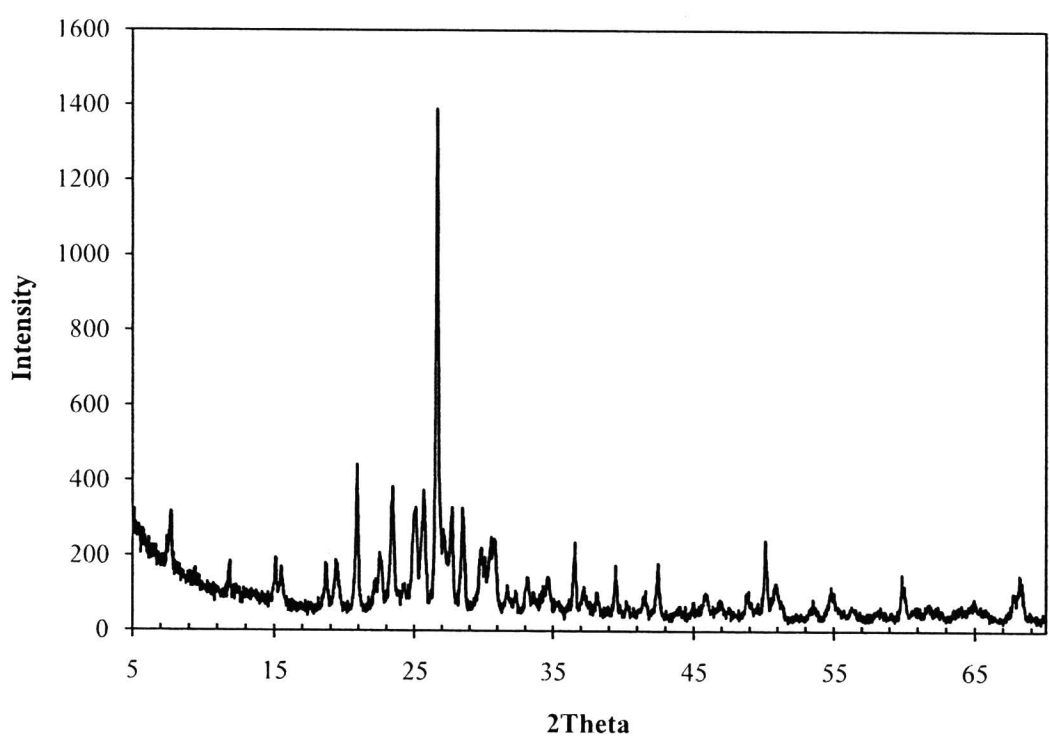
ภาพที่ จ-2 XRD pattern ของผลิตภัณฑ์ที่ใช้ BA:silica sol เท่ากับ 25:75



ภาพที่ จ-3 XRD pattern ของผลิตภัณฑ์ที่ใช้ BA:silica sol เท่ากับ 50:50

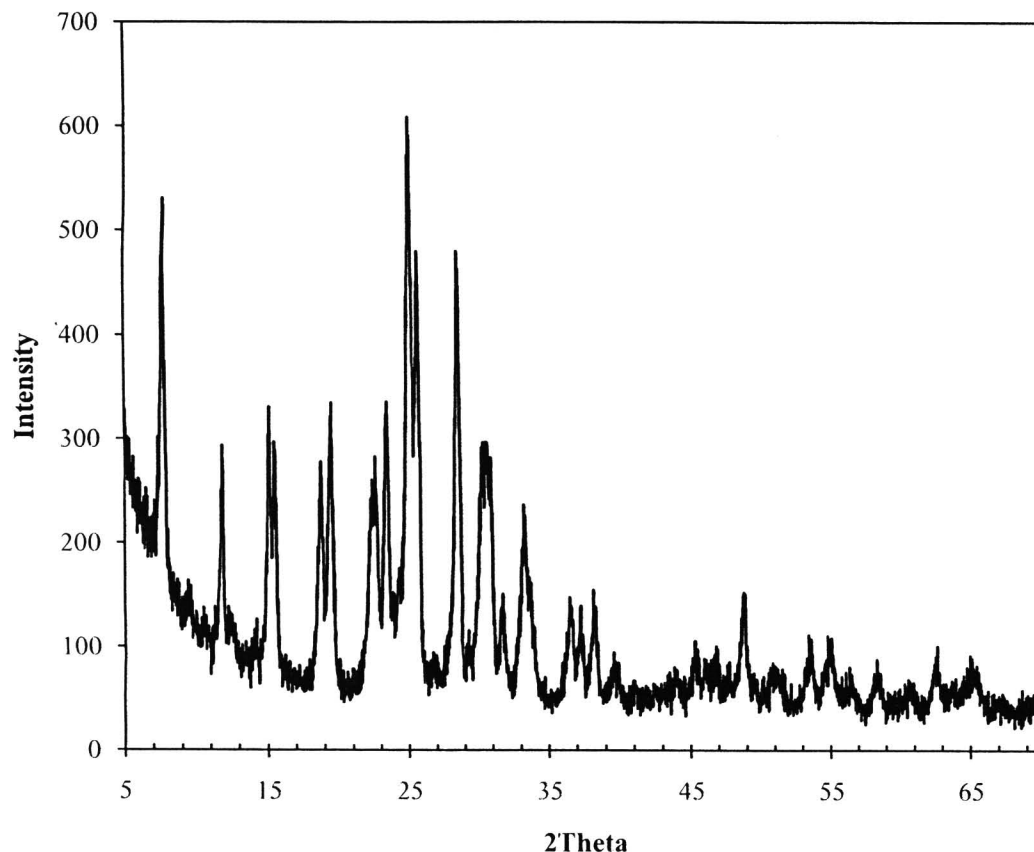


ภาพที่ จ-4 XRD pattern ของผลิตภัณฑ์ที่ใช้ BA:silica sol เท่ากับ 75:25

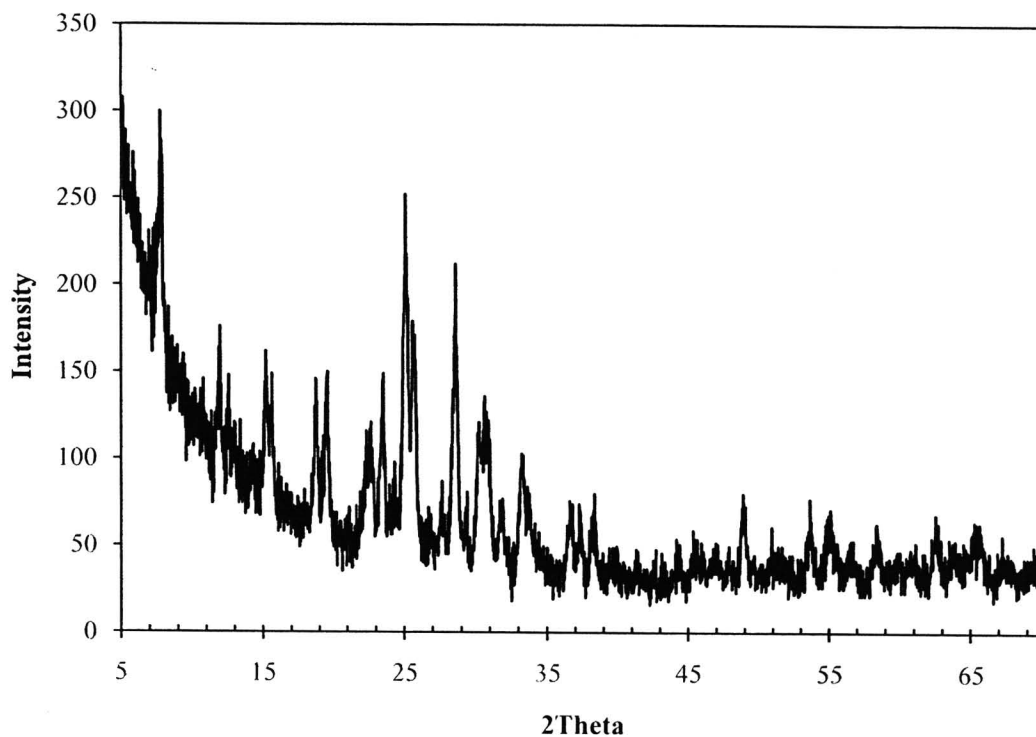


ภาพที่ จ-5 XRD pattern ของผลิตภัณฑ์ที่ใช้ BA:silica sol เท่ากับ 100:0

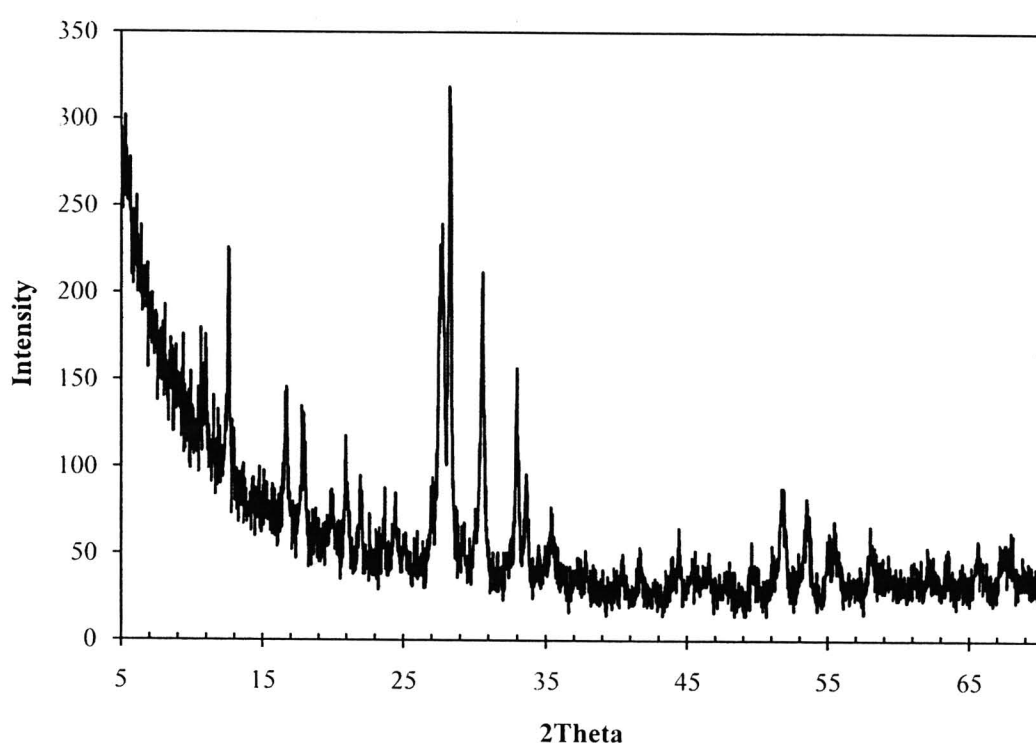
ผลการสังเคราะห์ซีโรไลต์โดยใช้ขี้ถ้าชานอ้อยที่เตรียมจากกวิธีที่ 2 มาเป็นแหล่งซิลิกา



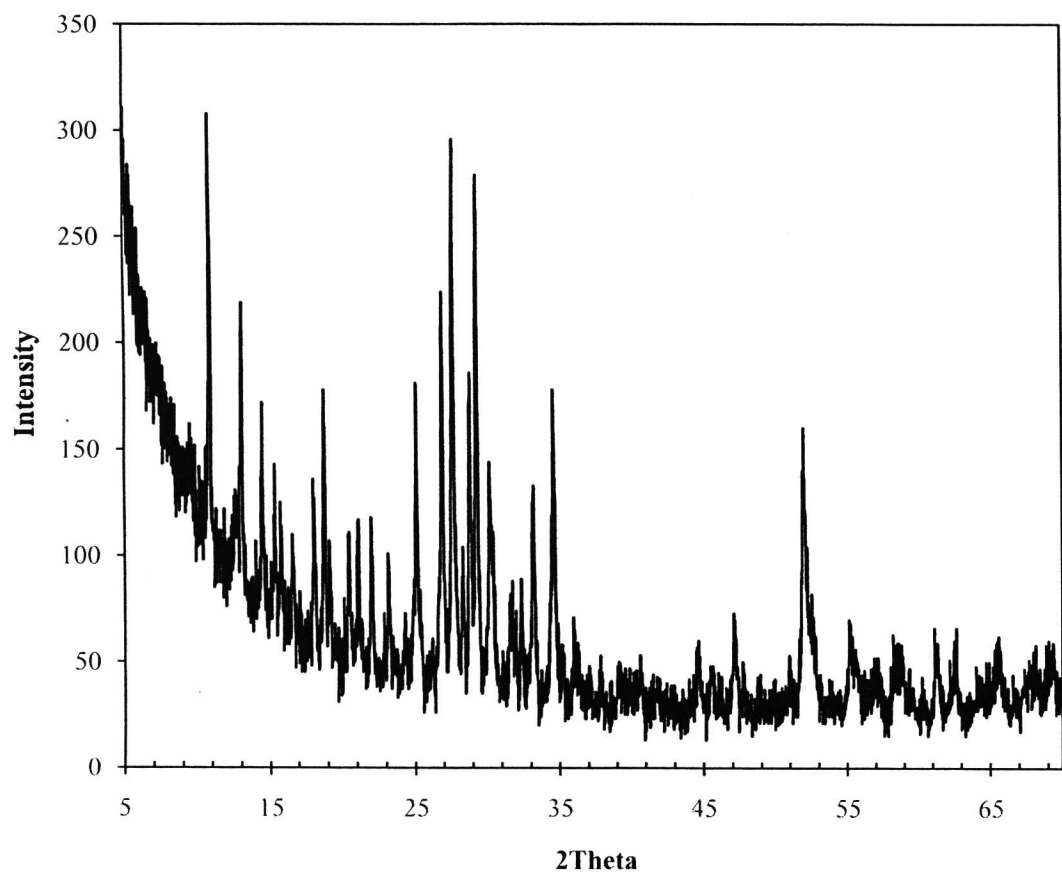
ภาพที่ จ-6 XRD pattern ของผลิตภัณฑ์ที่ใช้ BA:silica sol เท่ากับ 25:75



ภาพที่ จ-7 XRD pattern ของผลิตภัณฑ์ที่ใช้ BA:silica sol เท่ากับ 50:50

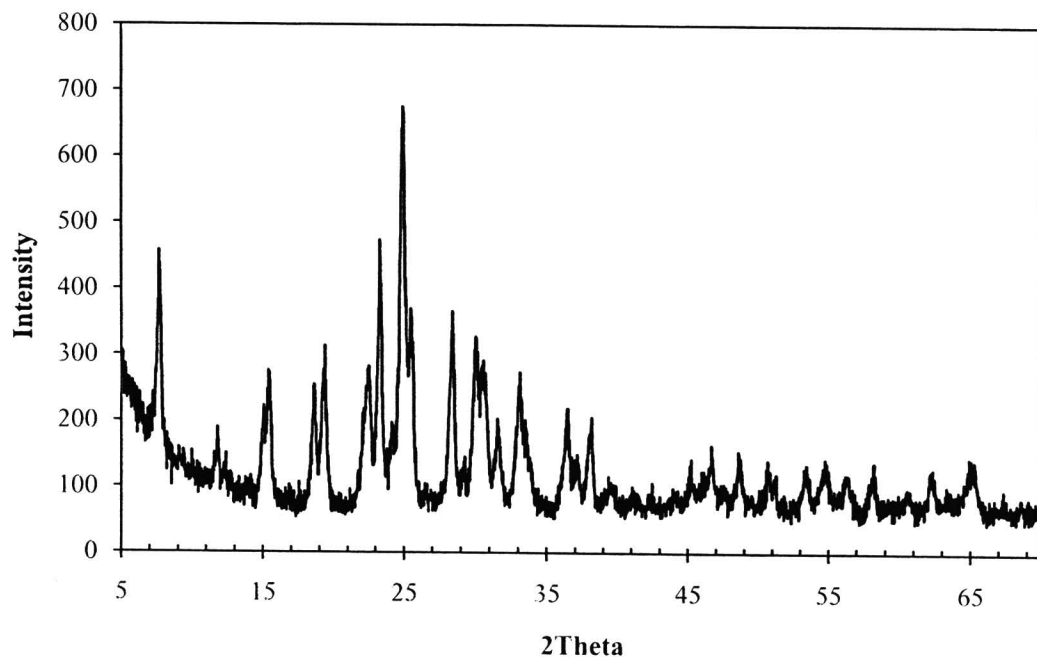


ภาพที่ จ-8 XRD pattern ของผลิตภัณฑ์ที่ใช้ BA:silica sol เท่ากับ 75:25

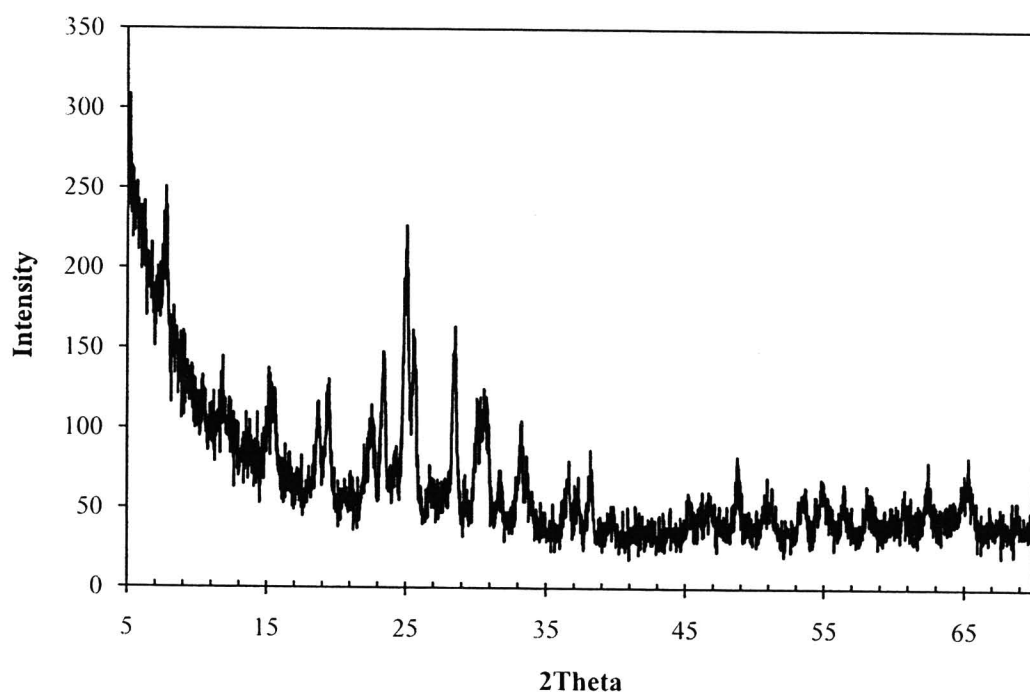


ภาพที่ ๙-๙ XRD pattern ของผลิตภัณฑ์ที่ใช้ BA:silica sol เท่ากับ 100:0

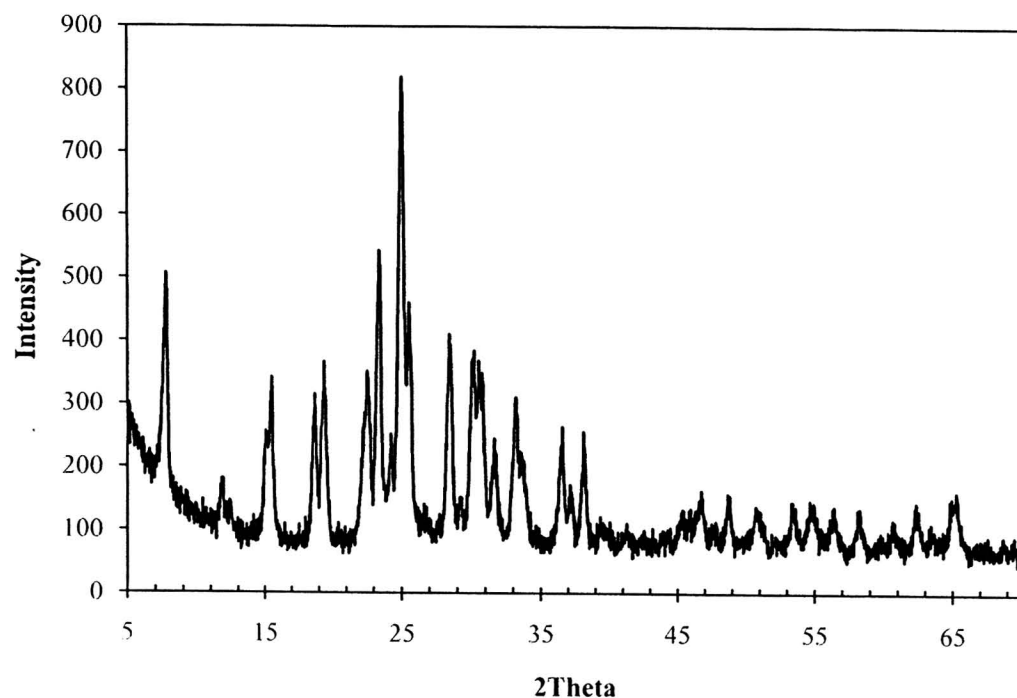
ผลการแลกเปลี่ยนไอออนระหว่าง K/SUZ-4 กับโลหะคopolyร์



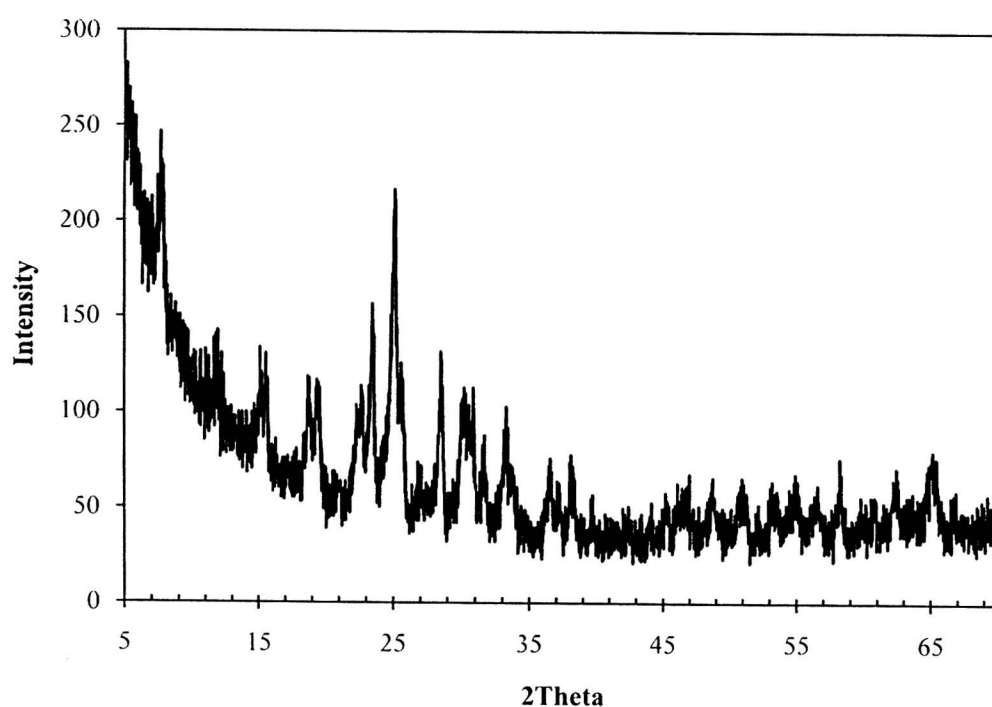
ภาพที่ จ-10 XRD pattern ของ 2.3 wt.% Cu/SUZ-4



ภาพที่ จ-11 XRD pattern ของ 2.8 wt.% Cu/SUZ-4



ภาพที่ ๑-๑๒ XRD pattern ของ 3.3 wt.% Cu/SUZ-4

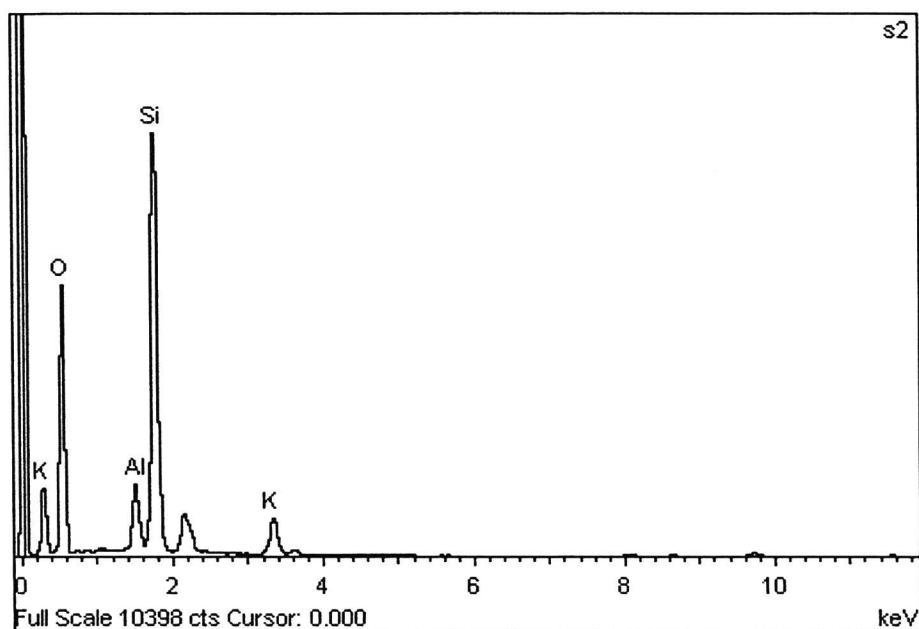


ภาพที่ ๑-๑๓ XRD pattern ของ 5.5 wt.% Cu/SUZ-4

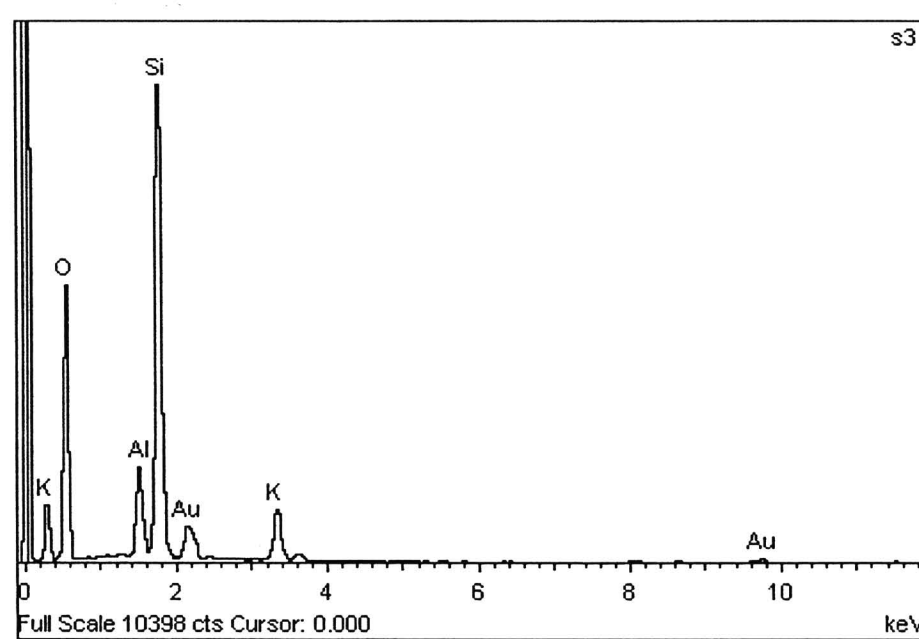
## ภาคผนวก ฉ

การวิเคราะห์องค์ประกอบของชาตุด้วยเครื่อง EDS

ผลสเปกตรัมซีโอไอล์ต SUZ-4 จากเครื่อง EDS



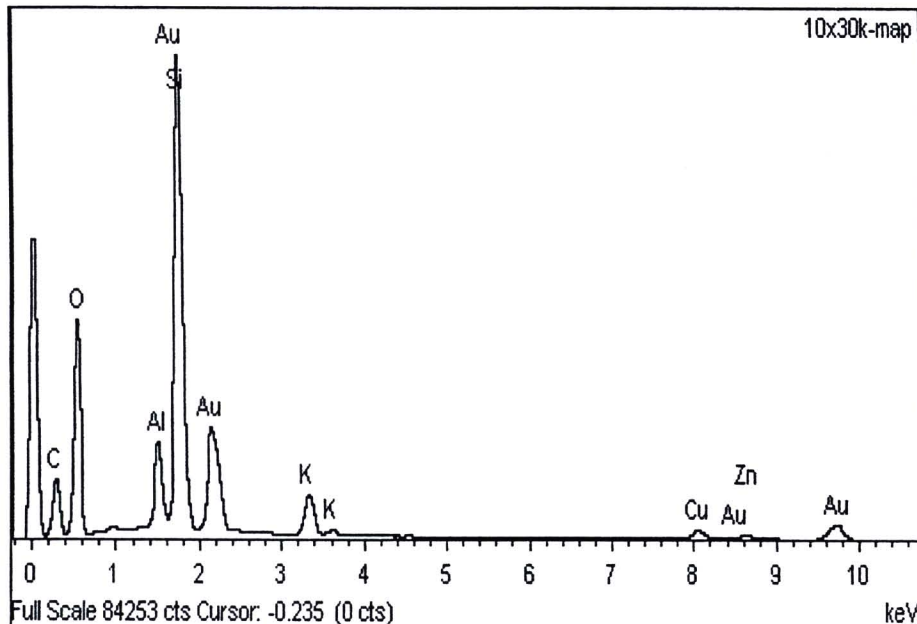
ภาพที่ ฉ-1 สเปกตรัมของซีโอไอล์ต SUZ-4 ของผลิตภัณฑ์ที่ใช้ BA:silica sol เท่ากับ 25:75  
(เตรียมขี้เด็กานอ้อยด้วยวิธีที่ 2)



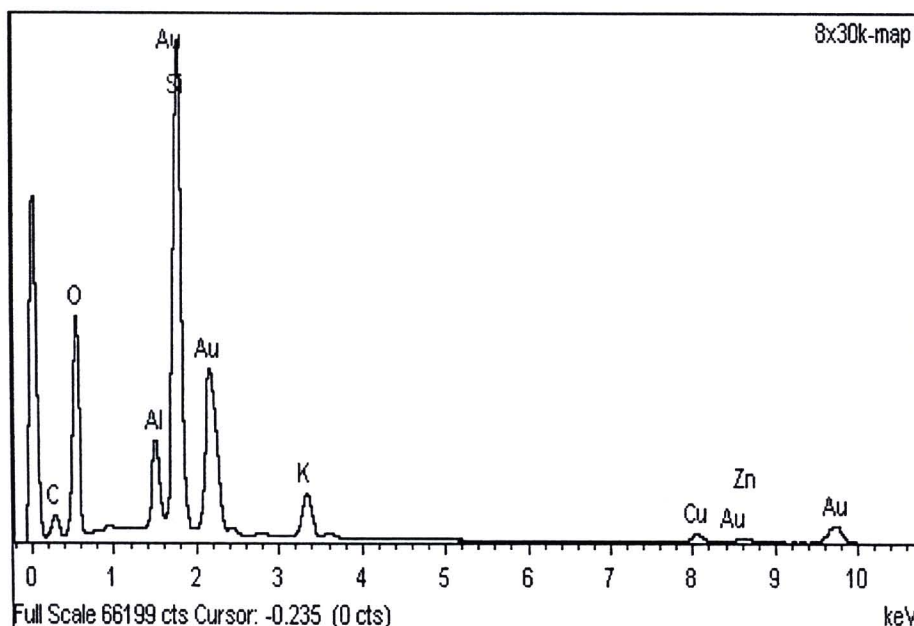
ภาพที่ ฉ-2 สเปกตรัมของซีโอไอล์ต SUZ-4 ของผลิตภัณฑ์ที่ใช้ BA:silica sol เท่ากับ 50:50  
(เตรียมขี้เด็กานอ้อยด้วยวิธีที่ 2)



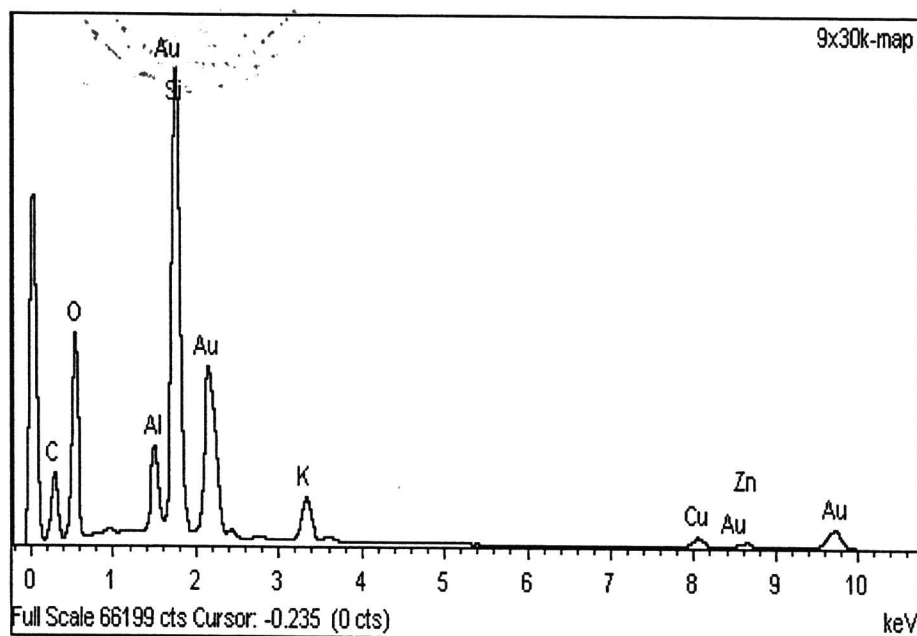
ผลสเปกตรัมของ Cu/SUZ-4 โดยใช้ K/SUZ4 ที่สังเคราะห์จาก BA:silica sol เท่ากัน 25:75



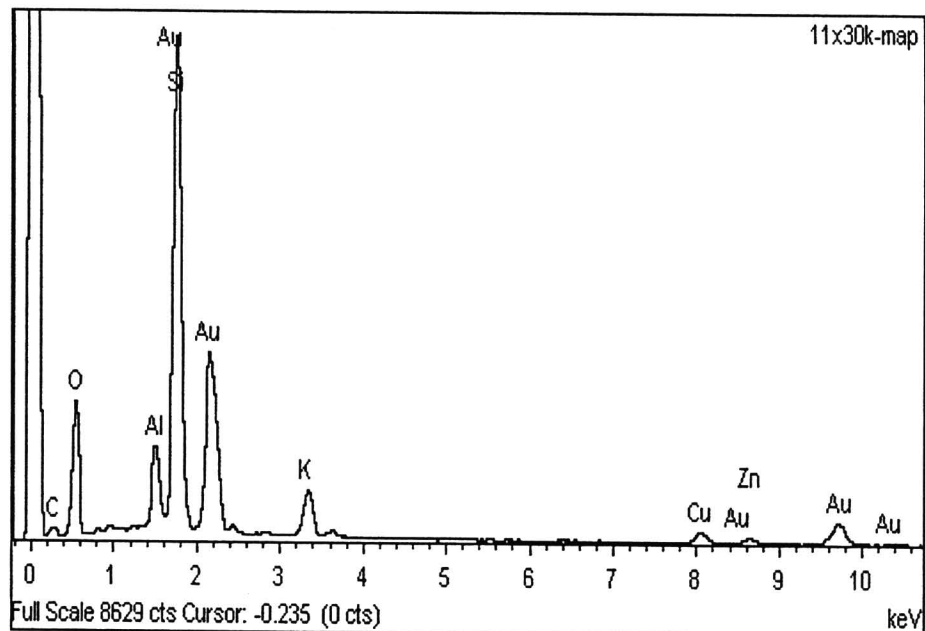
ภาพที่ ฉ-3 สเปกตรัมของ 2.3 wt.% Cu/ SUZ-4



ภาพที่ ฉ-4 สเปกตรัมของ 2.8 wt.% Cu/ SUZ-4



ภาพที่ ฉ-5 สเปกตรัมของ 3.3 wt.% Cu/ SUZ-4



ภาพที่ ฉ-6 สเปกตรัมของ 5.5 wt.% Cu/ SUZ-4



## ประวัติผู้จัย

ชื่อ : นางสาวดุษฎี ไตรสุวรรณ  
ชื่อวิทยานิพนธ์ : เทคนิคการเตรียมซีโอลایต์ SUZ-4 จากขี้เล้า chan อ้อย<sup>ชื่อ</sup>  
สาขาวิชา : วิศวกรรมเคมี

### ประวัติ

ประวัติส่วนตัว เกิดเมื่อวันที่ 7 มิถุนายน 2528 ที่อยู่ปัจจุบัน เลขที่ 1029/11 ถนนมหาราช ตำบลคลัง อำเภอเมือง จังหวัดนครศรีธรรมราช 80000

ประวัติการศึกษา สำเร็จการศึกษาระดับมัธยมศึกษาตอนต้นจากโรงเรียนสาธิตเทศบาลวัดเพชรรัตน์และระดับมัธยมศึกษาตอนปลายจากโรงเรียนเบญจมราษฎร์ นครศรีธรรมราช และสำเร็จการศึกษาระดับปริญญาตรี หลักสูตรปริญญาวิทยาศาสตรบัณฑิต สาขาวิชาเคมีอุตสาหกรรม ภาควิชาเคมี คณะวิทยาศาสตร์ จากสถาบันเทคโนโลยีพระจอมเกล้าเจ้าคุณทหารลาดกระบัง ในปีการศึกษา 2550

### ทุนวิจัยที่ได้รับขณะศึกษาในระดับปริญญาโท

- โครงการทุนวิจัยมหาบัณฑิต สกอ. สาขาวิทยาศาสตร์และเทคโนโลยี ภายใต้โครงการเชื่อมโยงภาคการผลิตกับงานวิจัย ทุน สกอ. – อุตสาหกรรม และบริษัท น้ำตาลครบูรี จำกัด (สัญญาเลขที่ MRG-WI525E092)
- ทุนอุดหนุนการวิจัยเพื่อทำวิทยานิพนธ์ ปีงบประมาณ พ.ศ. 2553 มหาวิทยาลัยเทคโนโลยีพระจอมเกล้าพระนครเหนือ

### ผลงานทางวิชาการ

- วารสารที่ได้รับการตีพิมพ์

Worathanakul, P., Trisuwan, D., Phatruk, A. and Kongkachuchay, P. "Effect of Sol-gel Synthesis Parameters and Cu Loading on the Physicochemical Properties of a New SUZ-4 Zeolite." **Colloids and Surfaces A: Physicochemical and Engineering Aspects.** 377 (2011) : 187–194.

- การสัมมนาทางวิชาการ

Trisuwan, D., Kongkachuchay, P. and Worathanakul, P. "Technique for SUZ-4 Zeolite Powder Synthesis Derived from Bagasse Ash." **RSCE 2010 the 17<sup>th</sup> Regional Symposium on Chemical Engineering** ISBN :978-974-466-514-0

